

کانی شناسی، دما- فشار سنجی و تفسیر جایگاه زمین ساختی گنیس های غرب سلطان آباد (شمال شرق سبزوار)

سید محمد حسین رضوی^۱، محسن نصر آبادی^{۲*}

۱- گروه زمین شناسی، دانشگاه تربیت معلم، تهران، ایران

۲- گروه زمین شناسی، دانشگاه بین المللی امام خمینی، قزوین

(دریافت مقاله: ۸۸/۱۲/۱۱، نسخه نهایی: ۸۹/۵/۲۶)

چکیده: منطقه‌ی مورد بررسی در شمال شرق سبزوار (استان خراسان رضوی) و در غرب سلطان آباد واقع است. در این منطقه یک مجموعه دگرگونی شامل سنگ‌های رخساره‌ی شیست سبز، شیست آبی، آمفیبولیت و اکلولوژیت (?) بروند دارند. توده‌ی گنیسی در بخش میانی این مجموعه (کوه چیلی) قرار دارد. تغییراتی از لحاظ پروتولیت و شدت برگوارگی در این توده وجود دارد. شواهد صحرایی، ژئوشیمی سنگ، داده‌های سال سنجی و شرایط فشار دگرگونی تقریباً مشابه گنیس‌ها با شیست‌های آبی (گنیس: Kb = ۱۰/۹ P و شیست آبی: ۱۱ - ۱۴ Kb = P) بیانگر آن است که پروتولیت گنیس‌ها، سری‌های تفریق یافته از پوسته‌ی اقیانوسی هستند که با حرکت رو به شمال خردۀ قاره‌ی ایران مرکزی همراه با سری‌های مافیک حوضه‌ی اقیانوسی سبزوار (شیست‌های آبی) دستخوش دگرگونی زون فرورانش در اثوسن بالایی شده‌اند.

واژه‌های کلیدی: دما- فشار سنجی؛ گنیس؛ شیست آبی؛ سلطان آباد؛ سبزوار.

مقدمه

گنیس‌ها از واحدهای سنگی رایج سرزمین‌های دگرگونی نوارهای کوهزایی محسوب می‌شوند. با وجود شرایط دگرگونی یکسان نسبت به طبقات سنگی هم‌جوار، در بیشتر موارد مجموعه‌های کانی‌شناسی متفاوتی در این واحدهای سنگی دیده می‌شوند. این امر را می‌توان به ترکیب شیمی‌سنگ کل، شدت دگرشکلی حاکم در زمان دگرگونی پیش‌رونده و برگشتی و تاثیر عوامل دیگر نسبت داد. وجود پروتولیت‌های متنوع در سنگ‌های دگرگون نوارهای کوهزایی که از نظر زمانی و مکانی رابطه‌ی نزدیکی با یکدیگر دارند، این قابلیت را فراهم می‌آورد که با تعیین شرایط دگرگونی هر یک از آن‌ها شناخت بهتری از تاریخچه‌ی دگرگونی حاکم بر منطقه حاصل شود. در این مقاله

ترکیب شیمیایی کانی‌ها و شرایط فشار و دمای دگرگونی و جایگاه زمین ساختی گنیس‌های مجموعه دگرگون سلطان آباد (شمال شرق سبزوار) مورد بررسی قرار گرفته‌اند.

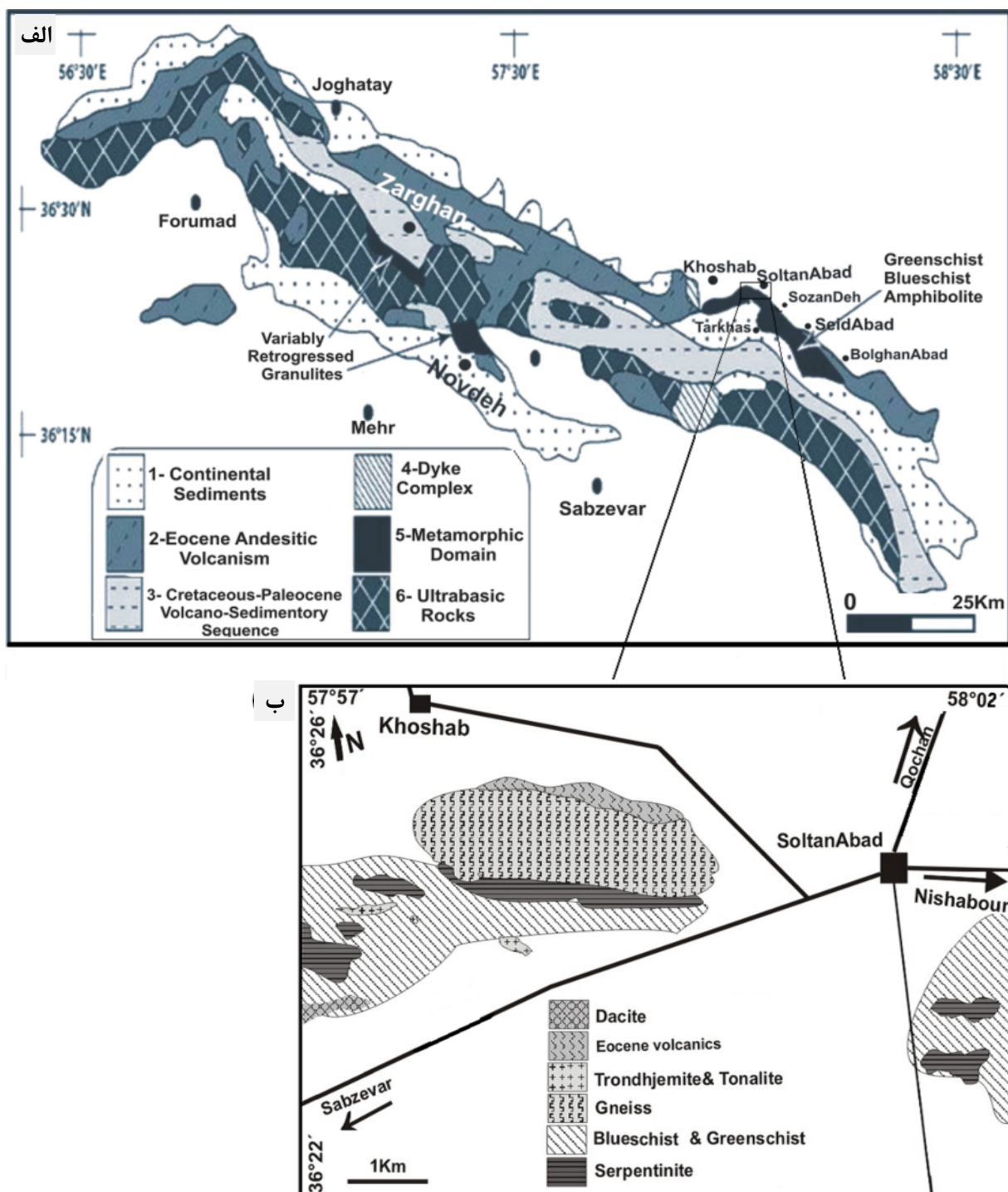
روش بررسی

روش بررسی شامل نمونه‌برداری سیستماتیک از نقاط مختلف رخنمون گنیس‌ها، تهیه‌ی مقاطع نازک از نمونه‌ها، بررسی‌های دقیق پتروگرافی و تجزیه‌ی نقطه‌ای روی ۱۴۰ نقطه از کانی‌های گوناگون گنیس‌ها در دانشگاه اشتوتگارت آلمان است. در محاسبه‌ی فرمول ساختاری کانی‌ها از نرم افزار کالکمین (Calc) و به منظور تخمین شرایط دما و فشار دگرگونی از نرم افزار ترموکالک، دما- فشار سنجی‌های مرسوم و نمودارهای گستره‌ی پایداری کانی‌ها استفاده شده است.

* نویسنده مسئول، تلفن: ۰۲۸۱ (۳۷۸۰۰۴۰)، نامبر: ۸۳۷۱۳۶۵، پست الکترونیکی: Mohsennasraby@hotmail.com

توبوگرافی بلند به صورت دو مجموعه‌ی دگرگونی در شمال‌غرب و شمال‌شرق سبزوار (مجموعه‌ی دگرگون سلطان‌آباد) مرتبط به کمربند افیولیتی رخنمون دارند (شکل ۱-الف) [۱].

زمین‌شناسی منطقه
منطقه‌ی مورد بررسی در شمال‌شرق ایران، در استان خراسان رضوی واقع شده است. سنگ‌های دگرگونی منطقه‌ی سبزوار با



شکل ۱ (الف) نقشه‌ی زمین‌شناسی ساده از نوار افیولیتی شمال سبزوار [۱]. (ب) نقشه‌ی زمین‌شناسی ساده از بخش میانی مجموعه‌ی دگرگونی سلطان‌آباد. گنیس‌ها به صورت یک توده مجزا در غرب سلطان‌آباد قرار گرفته‌اند.

کرتاسه بالایی، سنگ‌های دگرگونی همراه با افیولیت‌ها و سنگ‌های آندزیتی ائوسن نفوذ کرده‌اند و سن الیگومن تا پلیوسن برای آن‌ها در نظر گرفته شده است [۷]. در انتهای نوار دگرگونی جنوب‌غرب سلطان‌آباد (جنوب خوشاب) آهک‌های نومولیت‌دار به صورت دگرشیب روی شیسته‌های آبی قرار گرفته‌اند که حاوی خردوهای آواری از ترونجمیت‌ها و سنگ‌های دگرگونی منطقه هستند [۶]. قرارگیری این آهک‌ها روی این مجموعه‌ی دگرگونی از نکات کلیدی رخدادهای زمین‌شناسی منطقه بوده و موید پایان فرایند دگرگونی پیش از ائوسن میانی است.

نتیجه‌ی بررسی‌ها نشان داده [۶] که رخداد اصلی دگرگونی در سلطان‌آباد یک دگرگونی همزمان با تکتونیک بوده که در دمای ۴۰۰ تا ۵۰۰ درجه‌ی سانتیگراد و فشار ۶ تا ۷ کیلوبار (مرز تبدیل شیست سبز به شیست آبی) رخ داده است. شدت دگرگونی در غرب منطقه (گنجینه‌های غرب سلطان‌آباد)، تا دمای ۵۵۰ درجه‌ی سانتیگراد (رخساره‌ی اپیدوت - آمفیبولیت) پیش‌رفته است [۶].

گنجینه‌های غرب سلطان‌آباد غالباً دارای ترکیب تونالیتی و گاهی گابرویی و از نوع ارتوگنجینس بوده، بخشی از سنگ‌های پلوتونیک سری افیولیتی محسوب می‌شوند اما متابازیت‌ها سری‌های قلیایی و تحولی پیش از تشکیل افیولیت هستند [۶]. بعضی از پژوهشگران [۸] معتقدند که سنگ‌های دگرگونی سلطان‌آباد باقیمانده‌هایی از پوسته‌ی قاره‌ای دگرگون شده‌ی این منطقه‌اند که در طول شکل‌گیری پوسته‌ی اقیانوسی، بخش‌بزرگ این پوسته‌ی قاره‌ای قدیمی از بین رفت و تنها بخش‌هایی از آن بر جا مانده است.

بررسی‌های اخیر [۹] نشان داده که گنجینه‌های سلطان‌آباد بخشی از واحدهای سازنده پوسته‌ی اقیانوسی بوده به طوریکه پرتوولیت آن‌ها از ماقمای اولیه‌ی مافیک (بخش گابرویی پوسته‌ی اقیانوسی) تا ماقمای تفریق‌یافته اسیدی (پلازیوگرانیت اقیانوسی) تغییر می‌کند و این بخش از صفحه‌ی اقیانوسی پس از فرورانش و دگرگونی در زون فرورانش و منشورهای بهم‌افزوده وابسته به آن، دوباره به سطح زمین آورده شده‌اند.

منطقه‌ی مورد بررسی از نظر جایگاه زمین‌شناسی به زون ایران مرکزی تعلق دارد [۲]، اما [۳] منطقه‌ی سبزوار را در نقشه‌ی زمین‌ساختی خاورمیانه از این زون متمایزکرده است. در تقسیم‌بندی [۴] منطقه‌ی مورد بررسی که به زون سبزوار معروف است، در گستره‌ی ایران مرکزی قرار گرفته و از شمال به ارتفاعات البرز و بینالود و از جنوب به بلوك لوت محدود می‌شود. در شمال و جنوب این منطقه به ترتیب گسل‌های میانی و درونه (گسل بزرگ کویر) قرار گرفته‌اند.

به‌طور کلی مجموعه دگرگونی شمال‌غربی سبزوار در شرایط رخساره‌ی گرانولیت فشار بالا دگرگون شده و سپس تحت تاثیر دگرگونی پسروندۀ قرار گرفته است [۵].

مجموعه‌ی دگرگونی سلطان‌آباد که گنجینه‌های مورد بررسی بخش میانی آن را می‌سازند، دارای ۲۵ کیلومتر طول و ۵ کیلومتر عرض است که در جنوب با یک نوار باریک از آمیزه‌ی افیولیتی و سنگ‌های آتشفسانی - رسوبی کرتاسه بالایی و در شمال با کنگلومرا و سنگ‌های آتشفسانی ائوسن همجوارند. غرب و شرق این مجموعه با توده‌های عظیم سرپانتینیت محدود می‌شود (شکل ۱-ب). در مرز جنوبی این مجموعه دگرگونی گسل‌های شبی لغز معکوس با زاویه‌ی ۵۰ تا ۸۰ درجه رو به جنوب است. مرز شمالی آن با یک کنگلومرا قاعده‌ای با شبی ۳۰ درجه رو به شمال از سنگ‌های آتشفسانی ائوسن جدا می‌شود [۶]. روند عمومی سنگ‌های دگرگونی و آتشفسانی واقع در شمال آن، شمال‌غربی - جنوب‌شرقی و شبی آن‌ها به سمت شمال‌شرق است.

مجموعه‌ی دگرگونی سلطان‌آباد شامل سنگ‌های رخساره‌ی شیست سبز، شیست آبی، اکلوزیت (?) و آمفیبولیت است و پرتوولیت آن‌ها بیشتر بازی، گاهی پلیتی و کربناتی است. سنگ‌های رخساره‌ی شیست سبز بیشتر در جنوب‌شرقی سلطان‌آباد و آمفیبولیت و گنجیس در غرب و جنوب‌غربی سلطان‌آباد گسترش دارند. شیست آبی نیز به صورت پراکنده در سرتاسر منطقه بروندز دارد. این مجموعه‌ی دگرگونی نسبت به سنگ‌های اطراف ارتفاع بیشتری دارد و به داخل آن توده‌های نفوذی ترونجمیتی آهکی-قلیایی تزریق شده‌اند. از نکات قابل توجه در نوار افیولیتی سبزوار حضور گنبدهای داسیتی فراوان است که در مجموعه‌های افیولیتی و آتشفسانی - رسوبی

سنگ‌شناسی

در مقطع نازک این سنگ‌ها، با توجه به موقعیت جغرافیایی و پروتوولیت، کانی‌های سنگ‌ساز گنیس با فراوانی مودال و درجه‌ی جهت یافته‌گی ترجیحی متفاوت به شرح زیر دیده می‌شوند. در بخش جنوبی به صورت گنیس‌های مافیک است. در آن‌ها آمفیبول (باروئیزیت و چرم‌کیت)، اپیدوت (زوئیزیت و کلینوزوئیزیت)، آلبیت، کلریت و مقدار کمی گارنت، میکای سفید، روتیل و کوارتز وجود دارند (شکل^(۳)).

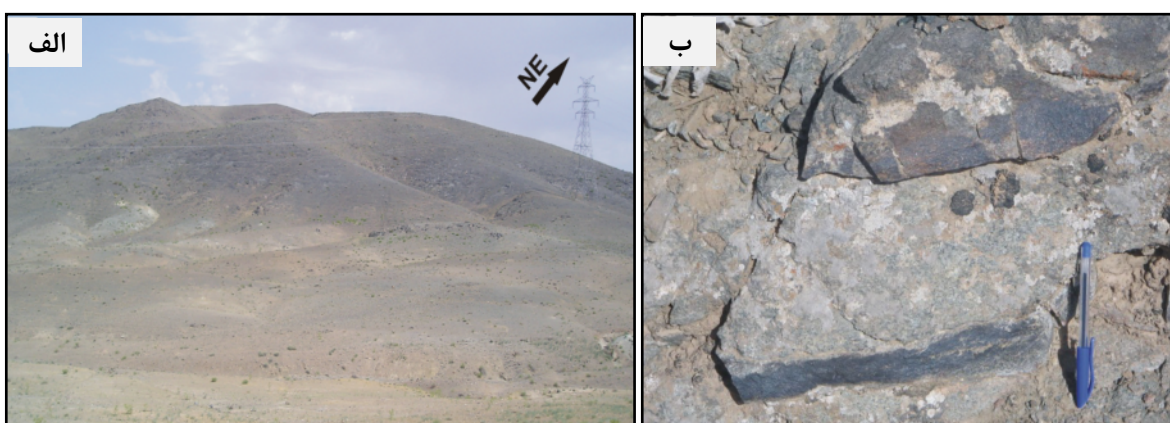
نمونه‌های بخش میانی توده‌ی گنیسی نسبت به نمونه‌های بخش جنوبی از کانی‌های مافیک کمتری برخوردارند. آمفیبول و میکای سفید نیز تا اندازه‌ای جهت یافته‌گی ترجیحی نشان می‌دهند که حاکی از اعمال دگرشکلی بیشتر بر سنگ‌های این بخش حين دگرگونی است. از نکات دیگر، حضور گارنت با هسته‌بندی متعدد و در نتیجه، فراوانی بلورهای ریز گارنت (کوچکتر از 3° میلیمتر) در این نمونه‌هاست (شکل^(۴)).

بیشتر گنیس‌های بخش شمالی دارای برگوارگی فراگیر بوده، کانی‌های مهم آن‌ها کوارتز، پلازیوکلаз، گارنت و میکای سفید است. این نمونه‌ها آمفیبول، اپیدوت و کلریت کمتری نسبت به نمونه‌های جنوبی‌تر دارند. آمفیبول در این سنگ‌ها نسبت به آمفیبول نمونه‌های بخش‌های جنوبی‌تر از چندرنگی سبز تیره‌تری برخوردار است. گارنت به صورت پورفیروبلاست و گاهی به شکل پوئی کیلوبلاستیک بوده و دارای ادخال‌هایی از کانی‌های زمینه است (شکل^(۵)). این گونه تنوع بافتی در گارنت و تغییر چندرنگی آمفیبول از شمال به جنوب توده‌ی گنیس را می‌توان به تغییرات ترکیب شیمیایی سنگ کل و یا شرایط دگرگونی نسبت داد.

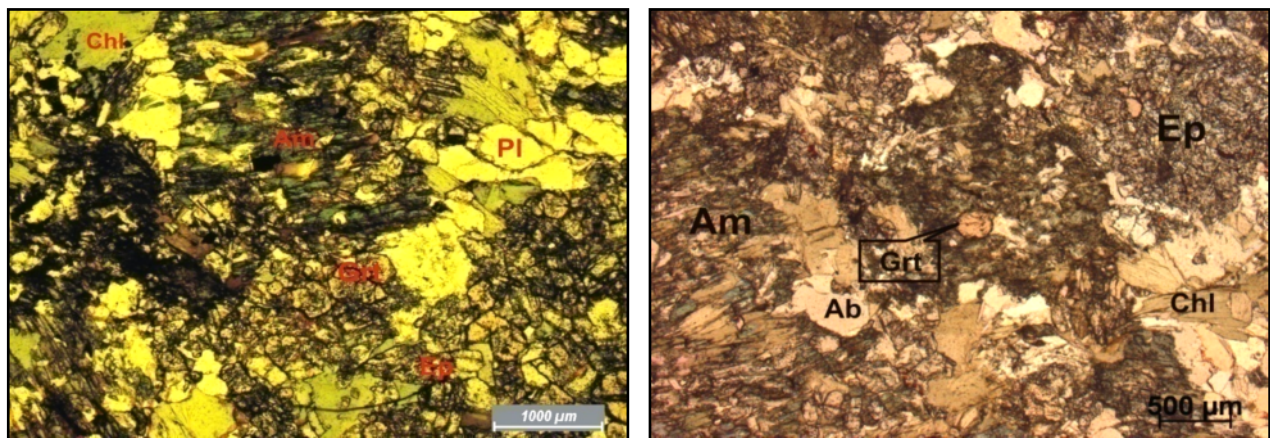
روابط صحرایی

رخمنون گنیس‌ها به طول ۵ کیلومتر و عرض ۲ کیلومتر به صورت توده‌ای مجزا (کوه چیلی)، در بخش میانی مجموعه‌ی دگرگونی و در غرب سلطان‌آباد دیده می‌شود (شکل ۲ - الف). این توده در بخش جنوبی با سرپانتینیت‌ها و در شمال با سنگ‌های آتشفسانی اوسن هم مرز است و غرب و شرق آن به آبرفت‌های عهد حاضر محدود است. روند عمومی برگوارگی گنیس‌های شمال‌غربی - جنوب‌شرقی بوده و شیب آن‌ها به سمت شمال‌شرق است. رنگ نمونه‌ها با توجه به فراوانی مودال کانی‌های تیره (آمفیبول، اپیدوت، کلریت و گارنت) و روشن (پلازیوکلاز، کوارتز و میکای سفید) متغیر است. در بعضی نقاط لایه‌های تیره و روشن را که بیانگر لایه‌بندی ماگمایی اولیه است می‌توان تشخیص داد (شکل ۲ - ب). به واسطه‌ی وجود این گونه ناهمگنی‌های ترکیبی اولیه، تاثیر ترکیب شیمیایی سنگ کل در ایجاد پاراژنرهای متفاوت کانی‌شناسی در شرایط یکسان دگرگونی قابل بررسی است. به عنوان مثال در لایه‌ی تیره گنیس مقادیر فراوانی گارنت موجود است در صورتی که در نوار روشن، گارنت دیده نمی‌شود.

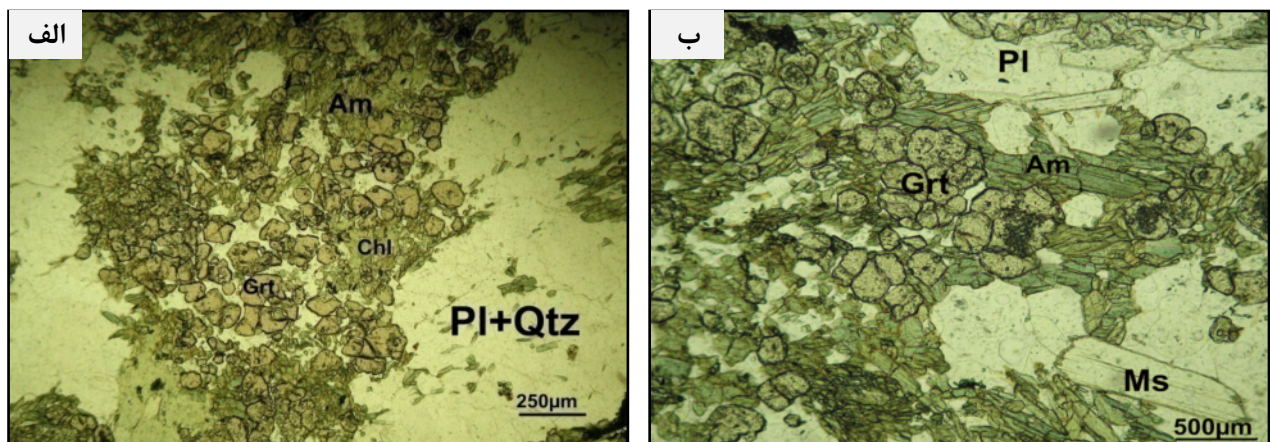
بخش جنوبی توده‌ی گنیسی درشت بلور، تیره‌رنگ با برگوارگی ضعیف است که حاکی از پروتوولیت بازی و تاثیر کم دگرشکلی حين دگرگونی است اما با پیمایش به سمت شمال، به تدریج سنگ‌های روشن‌تر رخمنون دارند که بیانگر پروتوولیت حدواتر و اسیدی آن‌هاست. بخش شمالی‌تر گنیس‌ها دارای برگوارگی نسبتاً فراگیر بوده و در آن‌ها بلورهای درشت‌تر گارنت تشکیل شده است.



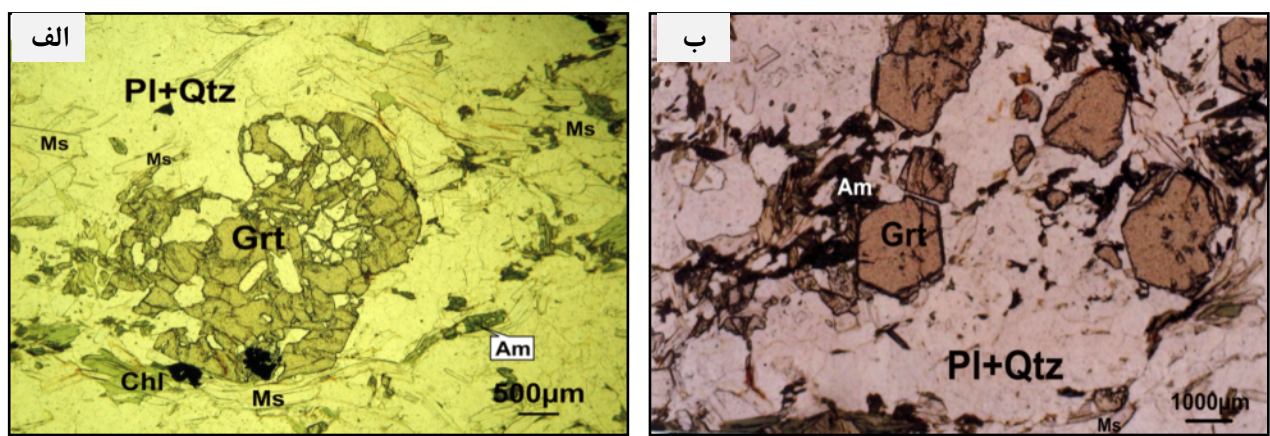
شکل ۲ الف) کوه چیلی که متشکل از توده گنیسی بوده و با توپوگرافی بلند در غرب سلطان‌آباد قرار دارد. ب) لایه‌بندی ماگمایی اولیه در گنیس‌ها.



شکل ۳ مقاطع میکروسکوپی گنیس‌های مافیک (XPL). کانی‌های سنگ شامل بلورهای درشت آمفیبول، پلازیوکلاز، کلریت، اپیدوت، آلبیت و گارنت است. وجود این پاراژنر حاکی از پروتولیت بازیک آنهاست.



شکل ۴ مقاطع میکروسکوپی نمونه‌های بخش مرکزی توده‌ی گنیسی (XPL). کانی‌های تشکیل دهنده‌ی سنگ عبارتند از: پلازیوکلاز، کوارتنز، آمفیبول، گارنت، کلریت، اپیدوت و میکائی سفید. در بیشتر این گنیس‌ها آمفیبول و میکائی سفید به صورت سمت یافته و گارنت با هسته‌بندی فراوان مشاهده می‌شوند.



شکل ۵ مقاطع میکروسکوپی نمونه‌های بخش شمالی توده‌ی گنیسی. کانی‌های مافیک در این گنیس‌ها از فراوانی کمی برخوردارند و گارنت‌های درشت با بافت پوئی کیلوبلاستیک (الف) و یا به صورت خودشکل (ب) در آنها قابل مشاهده است (XPL).

مافیک تجزیه‌ی نقطه‌ای به عمل آمد. نتایج برخی از تجزیه‌ها همراه با فرمول ساختاری محاسبه شده‌ی آن‌ها در جدول‌های ۱ و ۲ نمایش داده شده‌اند.

ترکیب شیمیایی کانی‌ها

به منظور شناخت ترکیب شیمیایی و تعیین دما و فشار حاکم بر منطقه، ۱۴۰ نقطه از کانی‌های آمفیبیول، گارنت، میکای سفید، پلازیوکلاز، اپیدوت و کلریت موجود در نمونه‌ای از گنیس‌های

جدول ۱ نتایج آنالیز نقطه‌ای آمفیبیول و گارنت.

| کانی | آمفیبیول | آمفیبیول | آمفیبیول | آمفیبیول | آمفیبیول | آمفیبیول | حاشیه گارنت | حاشیه گارنت | مرکز گارنت |
|------------------------------------|----------|----------|----------|----------|----------|----------|-------------|-------------|------------|
| شماره آنالیز | ۷۵ | ۷۷ | ۱۲۳ | ۱۲۴ | ۱۳۳ | ۲ | ۴۱ | ۲۱ | ۲۲ |
| SiO₂ | ۴۷,۷۸ | ۴۵,۲ | ۴۹,۷۲ | ۴۷,۶۵ | ۴۶,۳۲ | ۳۷,۱۶ | ۳۷,۵۳ | ۳۷,۱۵ | ۳۷,۰۲۷ |
| TiO₂ | ۰,۲۷۸ | ۰,۴۱۵ | ۰,۲ | ۰,۳۳۷ | ۰,۲۹۷ | ۰,۲۷۳ | ۰,۰۹۵ | ۰,۰۶۱ | ۰,۱۱۶ |
| Al₂O₃ | ۱۱,۵۶ | ۱۳,۹۵ | ۸,۱۵ | ۱۰,۷ | ۱۲,۰۰ | ۲۰,۵۱۹ | ۲۰,۶۵ | ۲۰,۸۹۵ | ۲۰,۸۹۳ |
| FeO* | ۱۵,۳۳ | ۱۵,۶ | ۱۳,۵۸ | ۱۴,۷۸ | ۱۴,۴۶ | ۳۰,۹۷ | ۳۱,۰۱ | ۲۸,۱۱۲ | ۲۹,۱۹۵ |
| MnO | ۰,۱۹۲ | ۰,۲۰۲ | ۰,۱۹۶ | ۰,۲۴۴ | ۰,۱۴ | ۱,۱۷ | ۰,۹۱۸ | ۴,۴۹۲ | ۲,۹۶۲ |
| MgO | ۱۱,۰۴ | ۱۰,۲۴۸ | ۱۳,۰۳ | ۱۱,۱۴ | ۱۱,۰۱۵ | ۰,۷۹۱ | ۱,۴۹۹ | ۱,۲۵۸ | ۰,۷۴۹ |
| CaO | ۹,۰۲ | ۹,۹۷۳ | ۹,۷۳ | ۹,۴ | ۹,۵۳ | ۹,۴۸۱ | ۸,۵۴۳ | ۸,۱۵ | ۹,۲۰ |
| Na₂O | ۲,۳۶ | ۲,۵۰۵ | ۱,۸۱ | ۲,۴۷ | ۲,۲۹۶ | ۰ | ۰ | ۰ | ۰ |
| K₂O | ۰,۲۵۹ | ۰,۴۰۹ | ۰,۲۱۳ | ۰,۳۹۲ | ۰,۳۱۹ | ۰ | ۰ | ۰ | ۰ |
| F | ۰,۱۰۱ | ۰ | ۰,۰۳۹ | ۰ | ۰,۰۲ | ۰ | ۰ | ۰ | ۰ |
| Cl | ۰,۰۲۵ | ۰,۰۰۷ | ۰,۱۶۷ | ۰,۱۵۵ | ۰,۰۱۱ | ۰ | ۰ | ۰ | ۰ |
| Total | ۹۷,۹۴۵ | ۹۸,۵۳۳ | ۹۶,۸۳۵ | ۹۷,۲۸ | ۹۶,۴۴۳ | ۱۰۰,۳۷۶ | ۱۰۰,۲۹۲ | ۱۰۰,۱۹ | ۱۰۰,۱۲۳ |
| Si | ۶,۷۶۲ | ۶,۳۶۴ | ۷,۱ | ۶,۷۸۷ | ۶,۶۵ | ۲,۹۸۲ | ۳,۰۰ | ۲,۹۸۲ | ۲,۹۷۷ |
| Ti | ۰,۰۳ | ۰,۰۰۵ | ۰,۰۲۱ | ۰,۰۳۶ | ۰,۰۳۶ | ۰,۰۱۶ | ۰,۰۰۵ | ۰,۰۰۳ | ۰,۰۰۷ |
| AlIV | ۱,۲۳۸ | ۱,۶۳۶ | ۰,۹ | ۱,۲۱۳ | ۱,۳۵ | ۰,۰۱۷ | ۰ | ۰,۰۱۷ | ۰,۰۲۲ |
| AlVI | ۰,۶۹ | ۰,۶۷۹ | ۰,۴۷۲ | ۰,۶۹ | ۰,۶۸ | ۱,۹۲۲ | ۱,۹۴۶ | ۱,۹۵۸ | ۱,۹۸۳ |
| Fe²⁺ | ۰,۵۸۱ | ۰,۲۰۹ | ۰,۶۳۹ | ۰,۴۱۱ | ۰,۴۲۱ | ۲,۰۱۱ | ۲,۰۲۲ | ۱,۸۵ | ۱,۹۲۳ |
| Fe³⁺ | ۱,۲۳۴ | ۱,۶۲۸ | ۰,۹۸۲ | ۱,۳۴۹ | ۱,۳۱۵ | ۰,۰۶ | ۰,۰۴۸ | ۰,۰۷۴ | ۰,۰۳۴ |
| Mn | ۰,۰۲۳ | ۰,۰۲۴ | ۰,۰۴۷ | ۰,۰۲۹ | ۰,۰۱۷ | ۰,۰۷۹ | ۰,۰۶۲ | ۰,۳۰۵ | ۰,۲۰۱ |
| Mg | ۲,۳۲۹ | ۲,۱۵۱ | ۲,۷۷۴ | ۲,۳۶۵ | ۲,۳۵۷ | ۰,۰۹۴ | ۰,۱۷۸ | ۰,۱۵ | ۰,۰۸۹ |
| Ca | ۱,۳۶۸ | ۱,۵۰۵ | ۱,۴۸۹ | ۱,۴۳۵ | ۱,۴۶۶ | ۰,۸۱۵ | ۰,۷۳۱ | ۰,۷ | ۰,۷۹۲ |
| Na | ۰,۶۴۸ | ۰,۶۸۴ | ۰,۵۰۱ | ۰,۶۸۲ | ۰,۶۳۹ | ۰ | ۰ | ۰ | ۰ |
| K | ۰,۰۴۷ | ۰,۰۷۳ | ۰,۰۳۹ | ۰,۰۷۱ | ۰,۰۵۸ | ۰ | ۰ | ۰ | ۰ |
| Mg# | ۸۰ | ۹۱ | ۸۱ | ۸۵ | ۸۴ | ۳۰ | ۳۰ | ۲۸ | ۲۹ |
| Andr | | | | | | ۳ | ۲ | ۱ | ۱ |
| Grs | | | | | | ۲۴ | ۲۲ | ۲۱ | ۲۴ |
| Sps | | | | | | ۲ | ۲ | ۱۰ | ۶ |
| Pyp | | | | | | ۳ | ۵ | ۵ | ۲ |
| Alm | | | | | | ۶۷ | ۶۷ | ۶۱ | ۶۳ |

فرمول ساختاری آمفیبیول بر اساس ۲۳ اکسیژن و گارنت بر پایه ۱۲ اکسیژن محاسبه شده‌اند.

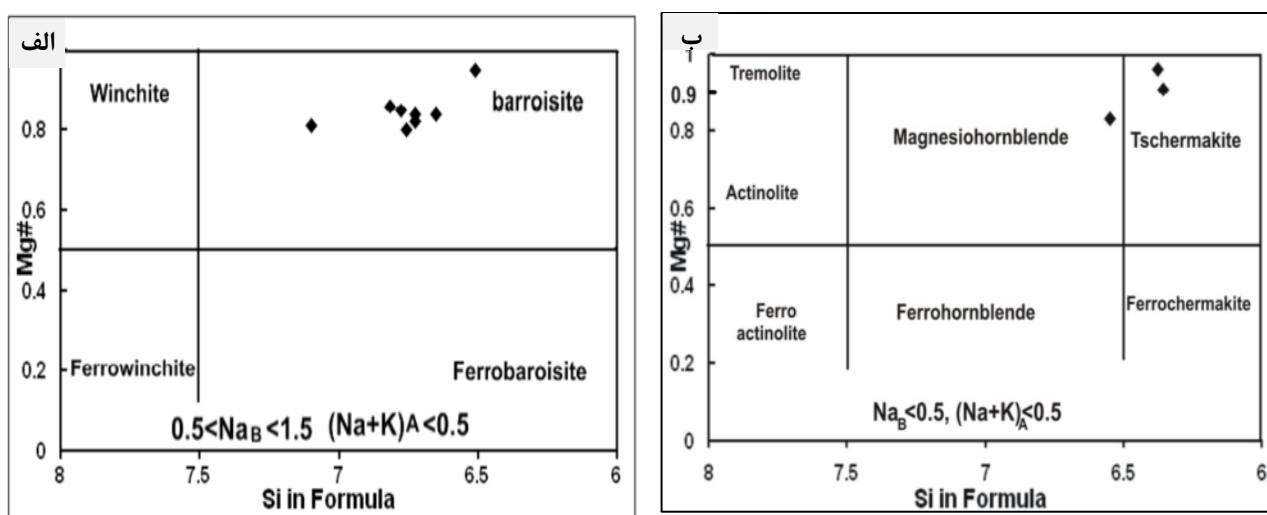
جدول ۲ نتایج آنالیز نقطه‌ای پلازیوکلار، اپیدوت، میکای سفید و کلریت.

| کانی | پلازیوکلار | | اپیدوت | | میکای سفید | | کلریت | |
|--------------------------------|------------|--------|---------|--------|------------|--------|--------|---------|
| شماره آنالیز | ۵۶ | ۴۷ | ۱۸ | ۱۹ | ۹۶ | ۱۰۱ | ۲۷ | ۲۲ |
| SiO ₂ | ۶۶,۶۴ | ۶۷,۵۶ | ۳۸,۶۶۲ | ۲۹,۰۸۱ | ۴۷,۹۱۹ | ۴۷,۸۲ | ۲۶,۳۸۸ | ۲۵,۹۸۴ |
| TiO ₂ | ۰ | ۰ | ۰,۱۶۳ | ۰,۲۰۶ | ۰,۰۲۵ | ۰,۰۵۸ | ۰,۰۵۶ | ۰,۰۵ |
| Al ₂ O ₃ | ۲۰,۴۳ | ۲۰,۶۸ | ۲۷,۵۶۵ | ۲۹,۵۸۹ | ۳۲,۲۲ | ۳۲,۷۵ | ۲۱,۱۷۷ | ۲۰,۷۷ |
| FeO* | ۰,۰۸۴ | ۰,۱۶۶ | ۸,۲۵۳ | ۵,۴۲۳ | ۲,۴۵ | ۲,۱۹۲ | ۲۲,۱۲۳ | ۲۴,۸۵ |
| MnO | ۰ | ۰ | ۰,۱۵ | ۰,۲۴۸ | ۰,۰۱۴ | ۰ | ۰,۲۲۶ | ۰,۴۲۶ |
| MgO | ۰ | ۰ | ۰ | ۰ | ۱,۹۰۷ | ۱,۵۰۵ | ۱۸,۵۱۶ | ۱۵,۹۹۴ |
| CaO | ۱,۸۰۵ | ۱,۰۶۲ | ۲۳,۳۵۱ | ۲۳,۴۰۴ | ۰,۲۸۸ | ۰,۰۲۸ | ۰,۱۰۳ | ۰,۲۶۱ |
| Na ₂ O | ۱۰,۸۲۴ | ۱۱,۴۹۴ | ۰ | ۰ | ۰,۹۰۹ | ۰,۹۱۵ | ۰,۱۴۵ | ۰,۳۰۶ |
| K ₂ O | ۰,۱۱۹ | ۰,۱۲۵ | ۰ | ۰ | ۱۰,۰۸۱ | ۱۰,۲۹۹ | ۰,۰۸۱ | ۰,۲۸۰ |
| H ₂ O | ۰ | ۰ | ۱,۹۲۸ | ۱,۹۴ | ۴,۴۶ | ۴,۴۳ | ۷,۹۷ | ۷,۹۸۳ |
| Total | ۹۹,۹۲ | ۱۰۰,۵۶ | ۱۰۰,۱۰۷ | ۹۹,۸۹ | ۱۰۰,۳۸ | ۱۰۰,۱۲ | ۱۰۰,۵۸ | ۱۰۰,۵۰۱ |
| Si | ۲,۹۲ | ۲,۹۳ | ۳,۰۰۵ | ۳,۰۱ | ۳,۱۸۹ | ۳,۱۸۷ | ۲,۶۹ | ۲,۷۰۴ |
| Ti | ۰ | ۰ | ۰,۰۰۹ | ۰,۰۱۲ | ۰,۰۰۱ | ۰,۰۰۲ | ۰,۰۰۴ | ۰,۰۰۳ |
| AlIV | ۱,۰۵۸۷ | ۱,۰۵۸۶ | ۲,۵۲۵ | ۲,۶۸۶ | ۰,۸۱ | ۰,۸۱۲ | ۱۳۰۱ | ۱,۲۹۵ |
| AlVI | | | | | ۱,۷۱۷ | ۱,۷۶۱ | ۱,۲۵ | ۱,۲۵۲ |
| Fe ²⁺ | ۰ | ۰ | ۰,۰۰۵ | ۰,۰۰۳ | ۰,۱۳۶ | ۰,۱۲۲ | ۱,۸۹ | ۲,۱۶۳ |
| Fe ³⁺ | ۰ | ۰ | ۰,۰۲۸ | ۰,۳۴۵ | ۰ | ۰ | ۰ | ۰ |
| Mn | ۰ | ۰ | ۰,۰۰۸ | ۰,۰۱۴ | ۰ | ۰ | ۰,۰۱۹ | ۰,۰۳۷ |
| Mg | ۰ | ۰ | ۰ | ۰ | ۰,۱۸۹ | ۰,۱۴۹ | ۲,۸۲۲ | ۲,۴۸۱ |
| Ca | ۰,۰۸۵ | ۰,۰۴۹ | ۱,۹۴۴ | ۱,۹۳۱ | ۰,۰۲ | ۰,۰۰۲ | ۰,۰۱۱ | ۰,۰۲۹ |
| Na | ۰,۹۲۲ | ۰,۹۶۷ | ۰ | ۰ | ۰,۱۱۷ | | ۰,۰۲۸ | ۰,۰۶۱ |
| K | ۰,۰۰۶ | ۰,۰۰۶ | | | | | | |
| Ab | ۹۰ | ۹۳ | | | | | | |
| An | ۸ | ۴ | | | | | | |
| Or | ۰ | ۱ | | | | | | |
| Mg# | | | | | ۵۸ | ۵۵ | ۵۹ | ۵۳ |
| XPs | | | ۱۶ | ۱۰ | | | | |
| Ms | | | | | ۶۰ | ۶۶ | | |
| Phl | | | | | ۴ | ۴ | | |
| Cel | | | | | ۲۰ | ۱۷ | | |
| Pg | | | | | ۱۲ | ۱۱ | | |

فرمول شیمیایی پلازیوکلار بر اساس ۸ اکسیژن، اپیدوت ۱۲/۵ اکسیژن، میکای سفید ۱۱ اکسیژن و کلریت ۲۸ اکسیژن محاسبه شده‌اند.

گنیس‌های منطقه، بنابر پارامترها و نمودارهای تقسیم‌بندی آمفیبول [۱۰]، از انواع باروئیزیت و چرماتکیت و به ندرت منیزیوهرنبلند هستند (شکل ۶).

آمفیبول
تعداد اتم‌های سیلیسیم موجود در ترکیب شیمیایی این آمفیبول‌ها از ۶,۳۸ تا ۷,۱ متغیر است. آمفیبول‌های موجود در



شکل ۶ بنابر نمودارهای تقسیم‌بندی آمفیبول‌ها [۱۰] آمفیبول‌های موجود از انواع باروئیزیت، چرماتیت و به ندرت منیزیوهرونبلنده‌اند هستند.

پلاژیوکلاز

پلاژیوکلاز از نوع آلبیت است که در آن مقدار آنورتیت ۴ تا ۱۰ درصد است.

اپیدوت

اپیدوت‌ها فقیر از آهن هستند و میزان سازنده پیستاسیت موجود در آنها از ۱۴ تا ۲۱ درصد تغییر می‌کند.

کلریت

کلریت‌ها از انواع فقیر از منیزیم بوده و عدد منیزیم آنها بین ۳۶ تا ۴۵ است.

دما-فشارسنگی

تعیین مسیر فشار و دمای دگرگونی از اهمیت ویژه‌ای در شناخت جایگاه زمین‌ساختی و فرایندهای کوه‌زایی برخوردار است.

روش‌های براورد شرایط فشار و دمای سنگ‌های مورد بررسی شامل استفاده از نرم افزار ترمومکالک [۱۳]، دما-فشارسنگ‌های قراردادی و نمودارهای حاصل از بررسی‌های آزمایشگاهی محدوده‌ی پایداری کانیهاست.

بهطور کلی وجود آمفیبول‌های از نوع باروئیزیت و چرماتیت، اپیدوت، کلریت، آلبیت و گارنت در نمونه‌های مختلف مافیک بیانگر دگرگونی برگشتی گابرو در شرایط دگرگونی دمای متوسط و فشار نسبتاً بالاست.

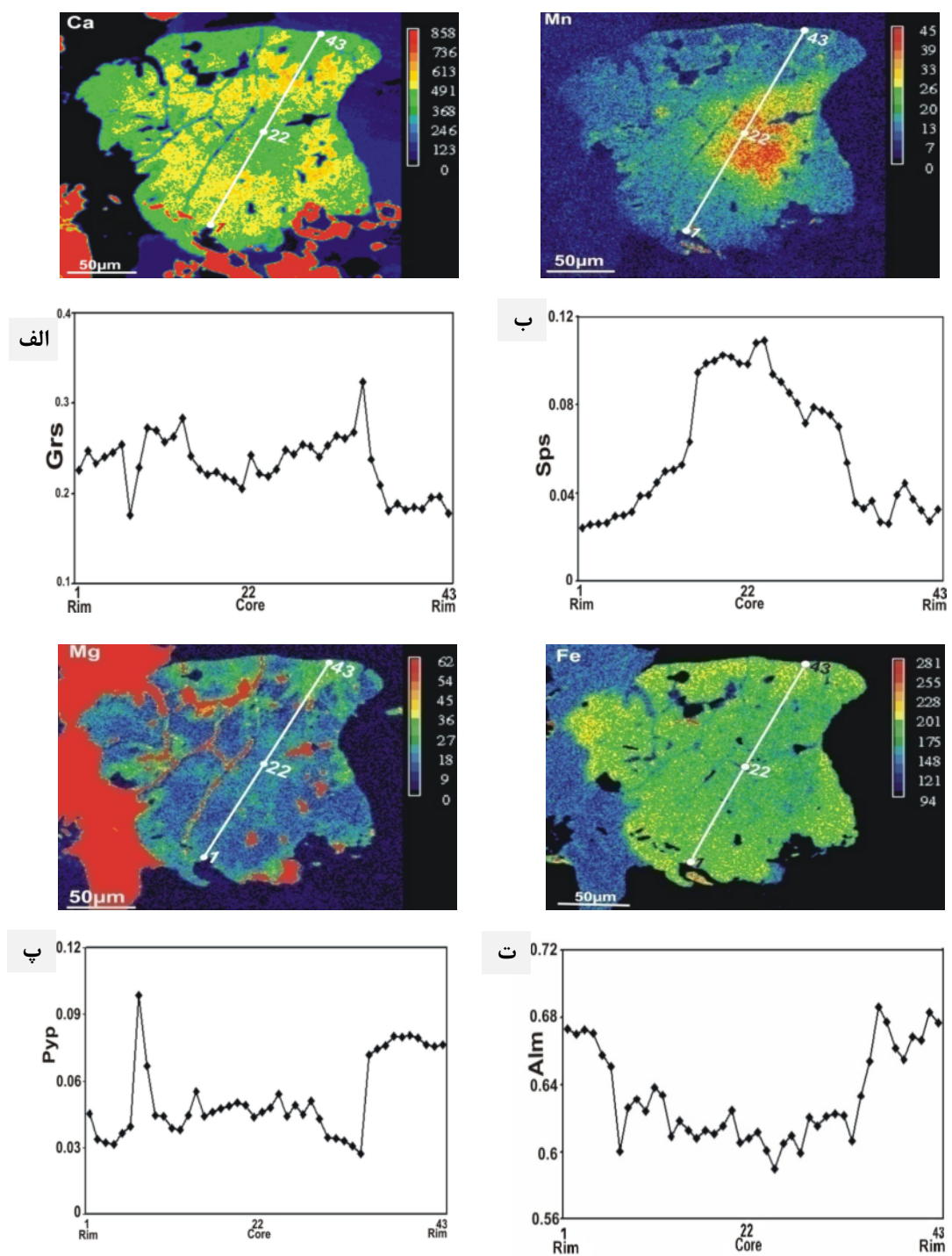
گارنت

گارنت‌ها از انواع غنی از آلماندن بوده و درصد اعضاینهایی به شرح زیر اند: آلماندن (۵۷ تا ۷۲ درصد)، گروسولار (۱۵ تا ۳۲ درصد)، پیروپ (۲ تا ۱۰ درصد) و اسپسارتین (۱ تا ۱۲ درصد). در راستای مقطع عرضی چندین گارنت تجزیه‌های شیمیایی متعددی صورت گرفت و تصاویر کموگرافی (X Ray Maps) تهیه شدند. تغییرات ترکیبی و تصاویر کموگرافی یکی از این گارنت‌ها در شکل ۷ نشان داده شده است.

منطقه‌بندی نامتقارن عناصر کلسیم و منیزیم را می‌توان به رشد سریع گارنت یا تاثیر پدیده‌ی انتشار و جذب مجدد طی دگرگونی پسروندۀ نسبت داد [۱۲، ۱۱]. در مقابل منگنز منطقه‌بندی پیوسته و متقارن به صورت کاهش از مرکز به حاشیه نشان می‌دهد که بیانگر تبلور و رشد گارنت طی دگرگونی پیشرونده است. مقدار آهن، به صورت ناپیوسته، از مرکز به حاشیه افزایش می‌یابد.

میکای سفید

میکای سفید غنی از پتاسیم بوده و اعضاینهایی آن عبارتند از موسکویت (۶۰ تا ۶۶ درصد)، سلادونیت (۲۰ تا ۲۰ درصد)، پاراگونیت (۱۱ تا ۱۲ درصد) و فلوگوپیت (۲ تا ۴ درصد). میزان کاتیون‌های سیلیسیم موجود در ساختار میکا نیز بین ۱۲ تا ۳۱۸ متریغ است.



شکل ۷ تصاویر کموجرافی و نمایش شماتیک منطقه‌بندی عناصر کلسیم، منیزیم، منگنز، آهن در گارنت که با آنالیز ۴۳ نقطه‌ای از مقطع عرضی گارنت تهیه شده اند. توضیحات تکمیلی در متن آمده اند است.

$$T = 50.9 \pm 32^\circ\text{C}$$

واکنش‌های دگرگونی که بر مبنای آن‌ها شرایط دما و فشار دگرگونی محاسبه شدند، به قرار زیرند (علامت اختصاری کانی-ها از [۱۴] اقتباس شده و در جدول ۳ معرفی شده‌اند):

با در نظر گرفتن گارنت، آمفیبول، پلازیوکلаз، میکائی سفید و اپیدوت به عنوان یک پاراژن در گنیس‌های منطقه، مقدار دما و فشار که با ترموموکالک به دست آمده عبارت است از:

$$P = 10.9 \pm 1.2 \text{ Kb}$$

با توجه به حضور روتیل در گنیس‌ها و به استناد نمودار گستره پایداری فازهای تیتانیم‌دار (روتیل-ایلمینیت-تیتانیت) [۱۸] احتمالاً فشار دگرگونی بیشتر از ۱۲ کیلوبار بوده است.

با توجه به شبکه‌ی پتوژنیکی تبدیل رخساره‌ی آمفیبولیت به رخساره اکلوژیت [۱۹] وجود گارنت در گنیس‌های منطقه بیانگر حداقل فشار ۸ کیلوبار است.

با توجه به نمودار گستره‌ی پایداری آمفیبول [۲۰] و حضور آمفیبول‌های نوع باروئیزیت، فشار حاکم طی فرایند دگرگونی بیشتر از ۵ کیلوبار بوده است، اما دما-فشارسنجی با استفاده از مقدار Ti و Al موجود در آمفیبول [۲۱] فشار ۱۰ تا ۱۷ کیلوبار و دمای ۴۵۰ تا ۵۲۰ درجه سانتیگراد را نشان می‌دهد. خلاصه‌ی نتایج حاصل از محاسبات دما-فشارسنجی در جدول ۴ نمایش داده شده است.

- 1) $12\text{An} + 15\text{Ts} + 4\text{Gr} = 24\text{Czo} + 3\text{Tr} + 10\text{Pyp}$
- 2) $2\text{Czo} + \text{Pyp} + \text{Qtz} = 2\text{An} + \text{Ts}$
- 3) $19\text{Ts} = 16\text{Czo} + 3\text{Tr} + 14\text{Pyp} + 8\text{H}_2\text{O}$
- 4) $6\text{Czo} + 4\text{Gr} + 5\text{Alm} + 15\text{Qtz} = 18\text{An} + 3\text{Fact}$
- 5) $12\text{Czo} + 15\text{Fcel} + 5\text{Alm} = 6\text{An} + 6\text{Fact} + 15\text{Ms} + 2\text{Gr}$
- 6) $6\text{An} + 6\text{Tr} + 15\text{Ms} + 2\text{Gr} = 12\text{Czo} + 15\text{Cel} + 5\text{Pyp}$

امروزه دماسنجدی روتیل با استفاده از میزان زیرکنیم موجود در آن، ابزار مناسبی برای تعیین دمای سنگ‌های دگرگونی است [۱۵-۱۷]. از روتیلهای موجود در گنیس‌ها نیز به‌منظور دماسنجدی تجزیه‌ی نقطه‌ای به‌عمل آمد، اما مقادیر کم زیرکنیم موجود در روتیل کمتر از آن بود که توسط دستگاه ریزپردازش اندازه‌گیری شود. محتوای کم زیرکنیم روتیل بیانگر آنسست که دما کمتر از ۶۰۰ درجه‌ی سانتیگراد بوده است [۱۵-۱۷].

جدول ۳ علائم اختصاری کانی‌ها [۱۴].

| علامت اختصاری | نام کانی |
|---------------|---------------|
| Pl | پلاژیوکلاز |
| An | آنورتیت |
| Ab | آلبیت |
| Grt | گارنت |
| Gr | گروسولار |
| Pyp | پیروپ |
| Alm | آلماندن |
| Am | آمفیبول |
| Tr | ترمولیت |
| Ts | چرم‌مکیت |
| Fact | فروآکتینولیت |
| Qtz | کوارتز |
| Ms | موسکویت |
| Pg | پاراگونیت |
| Fcel | فروسلادونیت |
| Cel | سلادونیت |
| Phl | فلوگوپیت |
| Chl | کلریت |
| Ep | اپیدوت |
| Czo | کلینیوزوئیزیت |

جدول ۴ نتایج محاسبات دما-فشارسنجدی گنیس‌های منطقه‌ی سلطان‌آباد

| | | دما (درجه سانتیگراد) | فشار(کیلوبار) |
|-----------|--|----------------------|---------------|
| فشارسنجدی | ترموکالک [۱۳] | 10.9 ± 1.2 | |
| | گستره‌ی پایداری فازهای تیتانیم‌دار [۱۸] | ۱۲< | |
| | شبکه پتروزنیکی تبدیل رخساره آمفیبولیت به رخساره اکلوژیت [۱۹] | ۸< | |
| | گستره‌ی پایداری آمفیبول [۲۰] | ۵< | |
| | فشارسنجدی آمفیبول [۲۱] | ۱۰-۱۷ | |
| دماسنجدی | ترموکالک [۱۳] | | 50.9 ± 32 |
| | دماسنجدی روتیل [۱۵، ۱۶ و ۱۷] | | ۶۰۰> |
| | دماسنجدی آمفیبول [۲۱] | | ۴۵۰-۵۲۰ |

سنگ قاره‌ای قدیمی قلمداد شده‌اند. ولی در سال‌های اخیر با توجه به پیشرفت‌های حاصل از تجزیه‌ی نقطه‌ای کانی‌ها و نیز پیشرفت روش‌های دما-فشارسنجدی، تعیین ترکیب شیمیایی پروتولیت سنگ‌های دگرگونی و انجام مطالعات سن‌سنجدی و ایزوتوپی، ارتباط پترولوزیکی و زمانی تنگاتنگ بین مجموعه‌های افیولیتی و سنگ‌های دگرگونی همراه آن‌ها روش شده است. بنابراین امروزه ساز و کار دگرگونی مناطق افیولیتی را به فرایندهای فرورانش و فرارانش لیتوسفر اقیانوسی و برخورد دو صفحه‌ی قاره‌ای وابسته می‌دانند.

با توجه به نتایج حاصل از دما-فشارسنجدی، شرایط فشار و دمای محاسبه شده برای دگرگونی، مستلزم وجود یک گرadiان زمین گرمایی نسبتاً بالا (۱۵ درجه سانتیگراد در کیلومتر) در محیط تشکیل گنیس‌هاست. شرایط فشار حاکم بر گنیس‌ها (P = ۱۱ Kb) تقریباً مشابه شیسته‌های آبی (P = ۱۱-۱۴ Kb) هم‌جوار است. حضور شیسته‌های آبی اپیدوت‌دار عاری از لاوسونیت و ترونجمیت‌های آداکیتی هم‌سن با سنگ‌های دگرگونی منطقه که حاصل از ذوب بخشی پوسته‌ی اقیانوسی داغ و جوان فرورو هستند [۹] نیز موید گرادیان زمین گرمایی بالا و دلیل وجود یک زون فرورانش داغ در منطقه است [۹].

برداشت به‌طورکلی در مناطق افیولیتی مشابه منطقه‌ی افیولیتی سبزوار ساز و کارها و عوامل موثر در دگرگونی از تنوع زیادی برخوردارند و تمایز انواع مختلف دگرگونی و فاکتورهای موثر در آن‌ها دارای پیچیدگی زیادی است بنابراین آگاهی از تاریخچه‌ی دگرگونی و زمین‌ساختی منطقه مستلزم بررسی‌های دقیق سنگ‌شناختی و پتروفابریکی است. در مناطق افیولیتی تا حد امکان باید به کمک بررسی‌های صحرایی، سنگ‌شناختی، دما-فشارسنجدی و زئوژیمیایی بین دگرگونی گرمابی کف اقیانوس، دگرگونی وابسته به فرورانش، دگرگونی ناشی از برخورد دو صفحه، دگرگونی قاعده‌ای و دگرگونی‌های مجاورتی و دینامیکی حاصل از نفوذ توده‌ها و زون‌های برشی تمایز لازم صورت گیرد. در اواسط نیمه دوم قرن گذشته میلادی، چگونگی فرایند تشکیل و جایگزینی افیولیت‌ها و سنگ‌های دگرگونی وابسته به آن‌ها دارای نکات مبهم زیادی بود و سنگ‌های دگرگونی واقع در مناطق افیولیتی را قدیمی‌تر از افیولیت‌ها و باقیمانده‌هایی از پی‌سنگ قاره‌ای قدیمی در نظر می‌گرفتند [۲۲]. از این‌رو در ایران نیز خاستگاه سنگ‌های دگرگونی مناطق افیولیتی نقاطی مانند نائین [۲۳] و سبزوار [۸] قطعات نابرجا با خاستگاه پی-

های منطقه‌ی سلطان‌آباد را بخشی از سکانس پوسته‌ی اقیانوسی در نظر می‌گیریم که پرتوولیت آن‌ها دربرگیرنده‌ی ماقمای بازی (بخش گابریوی پوسته‌ی اقیانوسی) تا ماقمای تفریق یافته (پلاژیوگرانیت) است که در نتیجه‌ی حرکت رو به شمال خردۀ قاره‌ی ایران مرکزی و فروزانش لیتوسفر حوضه‌ی اقیانوسی سیزوار (شیسته‌های آبی) دستخوش دگرگونی زون فروزانش در زمان ائوسن بالایی شده‌اند.

قدردانی

این پژوهش در غالب طرح پژوهشی صورت گرفته و هزینه‌ی آن از سوی حوزه‌ی معاونت پژوهشی دانشگاه تربیت معلم تهران تامین اعتبار شده است لذا از آن معاونت محترم تشکر و قدردانی می‌کنیم. از جناب آقای دکتر معین وزیری که با ارائه نظرها و پیشنهادهای علمی، در راستای هر چه پر بارتر شدن این پژوهش نقش ارزنده‌ای را ایفا کردن سپاسگزاریم. از آقای دکتر فردیکو روزتی و دکتر توماس تی که با انجام آنالیزهای ریز پردازشی سهم به سزایی در به ثمر رسیدن این پژوهش داشتند کمال تشکر را داریم. نویسنده‌گان مقاله‌ی از نظرها و پیشنهادهای سازنده داوران محترم مجله نیز تشکر می‌کنند.

مراجع

- [1] Lensch G., Mihm A., Alavi Tehrani N., "Major element geochemistry of the ophiolites north of Sabzevar (Iran)", J. P. Geol. Planet. Mh . 7(1979) 415-447.
- [2] Stocklin J., "Structural history and tectonics of Iran", a review. American Association of Petroleum Geologist Bulletin, 7(1968a) 1229-1258.
- [3] Alavi M., "Tectonic map of the middle east. Geological Survey of Iran", scale 1:5000000 .1sheet, 1991.
- [4] Pilger A., "Die zeitlich-tectonische Entwicklung der Iranischen Gebirge, Clauthaler" Geo. Abh., 8(1971) 27P.
- [5] Rossetti F., Nasrabad M., Vignaroli G., Theye T., Gerdes A., Razavi S.M.H., Moin Vaziri H.,

ترکیب آمفیبولهای ثانوی موجود در شیسته‌های آبی و آمفیبول موجود در گنیس‌ها یکسان بوده و از نوع باروئیزیت هستند. لذا گنیس‌ها همانند شیسته‌های آبی در یک جایگاه تکتโนمتامورفیک یکسان قرار داشته و دستخوش دگرگونی زون فرورانش و سپس دگرگونی برگشتی ناشی از تزریق توده‌های نفوذی ترونجمیتی شده‌اند.

شواهد صحرایی (شکل ۲ - ب) و ژئوشیمیایی سنگ کل بیانگر آن است که سنگ‌های مورد بررسی دارای خاستگاه ماقمایی بوده و به عبارتی ارتونگنیس هستند [۹].

ترکیب تونالیتی، کوارتزدیوریتی و ترونجمیتی، مقادیر کم پتاسیم، متاآلومین بودن و سری ماقمایی توله‌ایتی گنیس‌های منطقه مشابه پلاژیوگرانیت‌های اقیانوسی است [۹,۶].

یکی از راههای تشکیل پلاژیوگرانیت اقیانوسی تفریق ماقمایی توله‌ایتی موجود در اتاق ماقمایی پشت‌های اقیانوسی است و وجود سری ماقمایی مافیک تا اسیدی در گنیس‌های منطقه می‌تواند مبنی این امر باشد.

از طرفی نسبت ایزوتوپی Hf^{176}/Hf^{177} زیرکن‌های یک نمونه از گنیس‌ها اندازه‌گیری شده است [۹]. مقادیر بالای این نسبت ($\epsilon_{Hf} = 10.8 - 12.2$) خاستگاه قاره‌ای پرتوولیت گنیس‌ها را رد می‌کند [۲۵,۲۴].

زمان انجام دگرگونی گنیس‌های منطقه ۵۰ تا ۵۳ میلیون سال قبل (تعیین سن میکای سفید به روش پتاسیم - آرگون) بدست آمده [۶] که تقریباً هم‌زمان با دگرگونی شیسته‌های آبی (روش آرگون - آرگون فنثیت و گلوکوفان) و گارنت - آمفیبولیت‌های (روش آرگون - آرگون آمفیبول و اورانیم - سرب زیرکن) هم‌جوار است [۹].

لذا با توجه به شواهد صحرایی (روند شمال‌غربی - جنوب - شرقی و شبیب رو به شمال، وجود لایه‌بندی ماقمایی، هم‌جواری با سرپانتینیت‌ها و شیسته‌های آبی در مرز جنوبی و ناهمنگی ترکیبی)، دما-فشارسنجی، ترکیب شیمیایی سنگ کل، داده‌های سن‌سنجی و نسبت‌های ایزوتوپی هافنیم زیرکن، گنیس-

- [13] Powell R., Holland T.J.B., "On thermobarometry", Journal of Metamorphic Geology 26(2008) 155–179.
- [14] Siivola J., Schmid R., "A systematic nomenclature for metamorphic rocks. I. How to name a metamorphic rock. Recommendations by the IUGS Subcommission on the systematics of metamorphic rocks" (2007) (www.bgs.ac.uk/SCMRH/home.html).
- [15] Watson E.B., Wark D., Thomas J.B., "Crystallization thermometers for zircon and rutile", Contributions to Mineralogy and Petrology 151(2006) 413–433.
- [16] Ferry J., Watson E.B., "New thermodynamic models and revised calibrations for the Ti-in-zircon and Zr-in-rutile thermometers", Contributions to Mineralogy and Petrology 154(2007) 429–437.
- [17] Tomkins H.S., Powell R., Ellis D.J., "The pressure dependence of the zirconium-in-rutile thermometer", Journal of Metamorphic Geology 25(2007) 703–713.
- [18] Liu J., Bohlen S.R., Ernest W.G., "Stability of hydrous phases in subducting oceanic crust", Earth and Planetary Science Letters 143(1996) 161–171.
- [19] Liu J., "High pressure phase equilibria involving the amphibolites – eclogite transformation", unpublished doctoral dissertation, Stanford University (1997).
- [20] Otsuki M., Banno S., "Prograde and retrograde metamorphism of hematite-bearing basic schists in the Sanbagawa belt in central Shikoku", Journal of Metamorphic Geology 8(1990) 425–439.
- [21] Ernest W. G., Liu J., "Experimental phase-equilibrium study of Al- and Ti-contents of calcic amphibole in MORB-A semiquantitative thermobarometer", American Mineralogist 83 (1998) 952–969.
- [22] Kazmin V. G., Kulakov v. v., "The geological map of Syria", Scale 1:500000 (sheet Al-Latheiyyeh), Explanatory note, Technoexport, Nedra, Moscow, (1968) 124 pp.
- "Early Cretaceous migmatitic mafic granulites from the Sabzevar range (NE Iran): implications for the closure of the Mesozoic peri-Tethyan oceans in central Iran", Terra Nova 22(2010) 26–34.
- [6] Baroze J., Macaudiere J., Montigny R., Noghreyan M., Ohnenstetter M., Rocci G. A., "Ophiolites and related formations in the central part of the Sabzevar (Iran) and possible geotectonic reconstructions", Geodynamic Project (Geotraverse) in Iran, 1983, GSI, Rep. No.: 51.
- [7] Spies O., Lensch G., Mihm A., "Geochemistry of the post-ophiolitic tertiary volcanics between Sabzevar and Quchan (NW Iran)", Geodynamic project (Geotraverse) in Iran. GSI, Rep (1983) No.: 51.
- [۸] مجیدی ج.، "نقشه و گزارش زمین‌شناسی ورقه ۱۰۰۰۱، سبزوار"، سازمان زمین‌شناسی و اکتشافات معدنی کشور (۱۳۷۸).
- [۹] نصرآبادی م. "پترولوری سنگهای دگرگونی نوار افیولیتی شمال سبزوار"، رساله دکتری دانشگاه تربیت معلم (۱۳۸۸) ۲۵۰ ص.
- [10] Leake B.E., Alan R.W., William D.B., Ernst A.J.B., Giovanni F., Jeol D.J., Frank C.H., Hanan J.K., Vladimir G.K., John C.S., Nicholas C.N.S., Eric J.W.W., "Nomenclature of amphiboles: Additions and revisions to the International Mineralogical Associations amphibole nomenclature", American Mineralogist 89(2004) 883–887.
- [11] Florence F.P., Spear F.S., "Effects of diffusional modification of garnet growth zoning on P-T path calculations", Contributions to Mineralogy and Petrology 107(1991) 487–500.
- [12] Rollinson H.R., "The metamorphic history of the Isua Greenstone Belt, West Greenland", In: Fowler C.M.R., Ebinger C.J., Hawkesworth C.J. (Eds.). The Early Earth. Special Publication, Geological Society of London 199(2002) 329–350.

- [25] Vervoort J. D., Blichert-Toft J., "Evolution of the depleted mantle: Hf isotope evidence from juvenile rocks through time", *Geochimica et Cosmochimica Acta* 63(1999) 533–556.
- [23] Davoudzadeh M., "Geology and petrography of the area north of Nain, central Iran", Geological Survey of Iran. Rep. (1972) No.: 39.
- [24] Taylor S. R., McLennan S. M., "The Continental Crust: its Composition and Evolution" Oxford: Blackwell Scientific (1985) 312 pp.